

снизился с 19 до 2 % (на 91 %) в группе, где применялся метод аппаратной дезинфекции, а в контрольной группе – с 24 до 12 % (на 50 %), $p < 0,005$ [10].

В нашем исследовании применение метода аппаратной дезинфекции больничной среды мелкодисперсным аэрозолем на основе пероксида водорода позволило значительно снизить микробную контаминацию объектов окружающей среды и воздуха. Основываясь на этих данных, а также на результатах исследований других авторов, в реальной клинической практике описанный метод следует рассматривать как эффективное дополнение к стандартным подходам в комплексе дезинфекционных мероприятий.

Список литературы:

1. Vranken N.P., Weerwind P.W., Barenbrug P.J. et al. The role of patient's profile and allogeneic blood transfusion in development of post-cardiac surgery infections: A retrospective study // Interact. Cardiovasc. Thorac. Surg. 2014 / doi: 10.1093/icvts/ivu096.
2. Белобородова Н.В., Попов Д.А., Бачинская Е.Н. Послеоперационные инфекции в кардиохирургии: современное состояние проблемы и перспективы // Грудная и сердечно-сосудистая хирургия. 2004. № 4. С. 54-59.
3. Решедко Г.К., Рябкова Е.Л., Кречикова О.И. и др. Резистентность к антибиотикам грамотрицательных возбудителей нозокомиальных инфекций в ОРИТ многопрофильных стационаров России // Клиническая микробиология и антимикробная химиотерапия. 2008. № 2. С. 96-112.
4. Попов Д.А., Вострикова Т.Ю. Микробиологический мониторинг в кардиохирургическом стационаре – опыт за 10 лет // Бюллетень НЦ ССХ им. А.Н. Бакулева РАМН. 2012. № 5. С. 68-76.
5. Munoz-Price L.S., Poirel L., Bonomo R.A. et al. Clinical epidemiology of the global expansion of Klebsiella pneumoniae carbapenemases // Lancet Infect. Dis. 2013. № 13 (9). PP. 785-7.96
6. Попов Д.А., Анучина Н.М. Санитарно-бактериологический мониторинг в кардиохирургическом стационаре: 10-летний опыт // Бюллетень НЦ ССХ им. А.Н. Бакулева РАМН. 2012. № 3. С. 41-49.
7. Скорогодов Л.Я., Листер Дж. Столетие антисептики. – Л.: Изд-во АН СССР «Наука», 1971.
8. Cabrera R.H., Vizcaino M.J., Herruzo I. Quantifying Glosair™ 400 efficacy for surface disinfection of American Type Culture Collection strains and micro-organisms recently isolated from intensive care unit patients // J. Hosp. Infect. 2014 / doi: 10.1016/j.jhin.2014.04.006.
9. Passaretti C.L., Otter J.A., Reich N.G. et al. An evaluation of environmental decontamination with hydrogen peroxide vapor for reducing the risk of patient acquisition of multidrug-resistant organisms // Clin. Infect. Dis. 2013. № 56 (1). С. 27-35.
10. Barbut F., Menuet D., Verachten M., Girou E. Comparison of the efficacy of a hydrogen peroxide dry-mist disinfection system and sodium hypochlorite solution for eradication of Clostridium difficile spores // Infect. Control Hosp. Epidemiol. 2009. № 30 (6). PP. 507-514.

Дмитрий Александрович Попов,
д-р мед. наук, руководитель лаборатории
клинической микробиологии
и антимикробной терапии,
Неля Михайловна Анучина,
научный сотрудник,
ФГБНУ «Научный центр сердечно-сосудистой
хирургии им. А.Н. Бакулева»,
г. Москва.
e-mail: da.popov@inbox.ru

А.Е. Беркович, А.А. Бурсиан, К.Ю. Сенчик, Н.Н. Петрищев, А.Ю. Цибин, Г.Ю. Юкина

Лабораторный стенд для исследования воздействия фокусированного ультразвука высокой интенсивности на сосуды

Аннотация

Создан лабораторный стенд, представляющий собой комплекс устройств, реализующих функции фиксации и позиционирования объекта исследования, ультразвукового сканирования, прицеливания, дозированного воздействия ФУВИ. Специальная конструкция ультразвукового блока позволяет осуществлять прицеливание и воздействие одновременно (с помощью одного устройства). Произведена калибровка силового излучателя. В эксперименте на кроликах исследовано влияние ФУВИ на бедренные вены.

При интенсивности ультразвука в фокальном пятне около $8,7 \text{ кВт/см}^2$ во всех слоях стенки вены развиваются структурные изменения; наиболее значимые из них – десквамация эндотелия и дезорганизация коллагена. Эти изменения рассматриваются как основа последующей облитерации.

В настоящее время при лечении варикозного расширения вен нижних конечностей широко применяют малоинвазивные методы: склеротерапию, эндовазальную лазерную облитерацию, радиочастотную абляцию. Принципиально новым подходом к лечению варикозной болезни можно считать использование неинвазивного воздействия на вены фокусированного ультразвука высокой интенсивности (ФУВИ). Однако исследования в этой области немногочисленны, и остаются невыясненными оптимальные режимы воздействия ФУВИ, обеспечивающие облитерацию вен [1]-[3].

Для воздействия на вены ФУВИ нами был использован лабораторный стенд, представляющий собой комплекс устройств, реализующих функции фиксации и позиционирования объекта исследования, ультразвукового сканирования,

прицеливания, дозированного воздействия ФУВИ. Укрупненная структурная схема лабораторного стента представлена на рис. 1.

Рабочая часть лабораторного стента – ультразвуковой блок (рис. 2) включает в себя многоплоскостной ультразвуковой датчик и фокусирующий излучатель.

УЗ-датчик представляет собой сборку из трех одномерных массивов элементов, расположенных параллельно друг другу. Это позволяет получить изображение срезов объекта исследования в трех параллельных плоскостях и построить псевдотрехмерную модель, то есть улучшить восприятие объекта исследования оператором по сравнению с классическим вариантом. Расстояние между массивами составляет 6 мм. В каждом массиве имеется 60 пьезоэлементов, расположенных с шагом

0,3 мм. Размер пьезоэлемента в поперечном направлении равен 4 мм.

Фокусирующий силовой излучатель представляет собой пьезопреобразователь в виде сегмента сферы радиусом 70 мм, образованного сечениями с диаметрами 80 и 40 мм, подключенный к выходу высокочастотного генератора, управляемого отдельным программным модулем блока управления. Частота силового излучения равна 1,9 МГц.

Устройство позиционирования, снаженное винтовыми подачами и шкалами, обеспечивает контролируемое механическое перемещение по трем координатам. Акустический контакт между ультразвуковым блоком и объектом исследования обеспечивался за счет слоя эхогеля. Органы управления стенда позволяют варьировать длительность и интенсивность силового воздействия. Значения интенсивности в фокальном пятне приводятся для случая непоглощающей среды.

Оценка интенсивности ультразвука в фокусе излучателя произведена с помощью гидрофона игольчатого типа, модель «Müller-Platte». При пересчете величины сигнала гидрофона в уровень интенсивности использованы следующие значения и соотношения:

- соотношение между действующим (среднеквадратичным) и амплитудным значениями для синуса: 1:1,414;
- чувствительность гидрофона (паспортное значение): 0,29 пКл/бар;
- соотношение 1 бар = 100 000 Па;
- емкость гидрофона с кабелем (паспортное значение): 237 пФ;
- емкость входа осциллографа: 15 пФ;
- коэффициент пересчета для амплитуды сигнала $k = 0,615 \text{ Па}/\text{мВ}$;
- интенсивность (ГОСТ Р МЭК 61157–2008) $I [\text{Вт}/\text{м}^2] = p^2 / \rho c$,

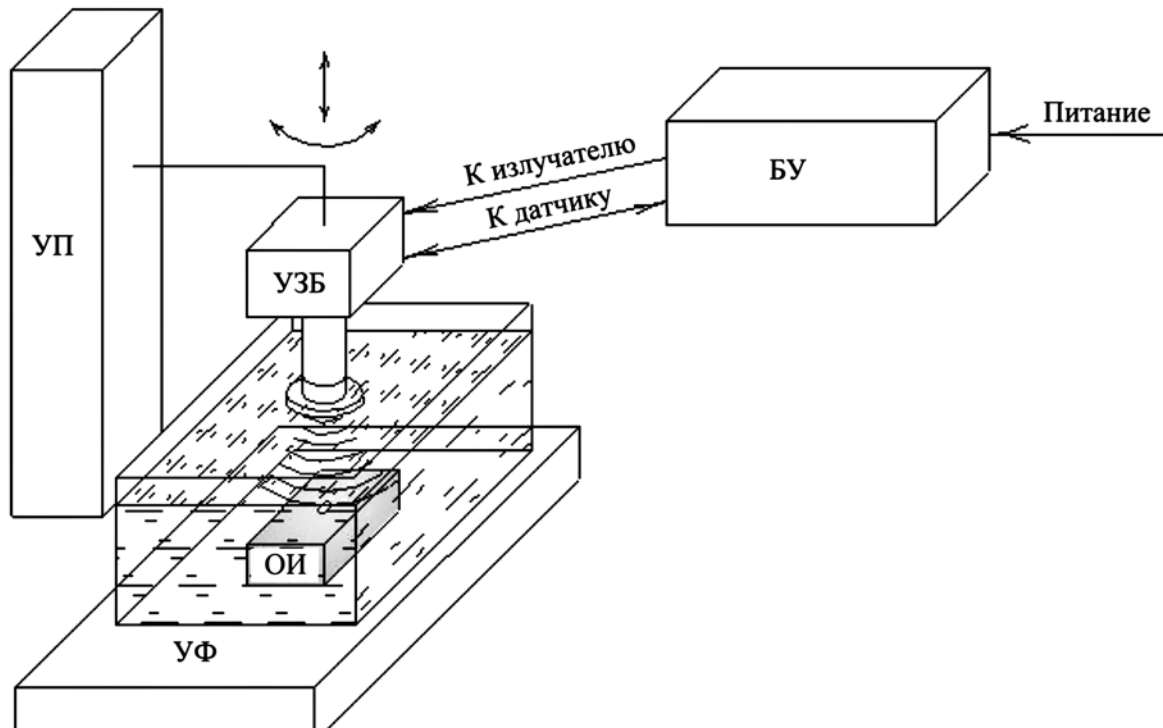


Рис. 1. Структурная схема лабораторного стенда: БУ – блок управления; УЗБ – ультразвуковой блок; УП – устройство позиционирования; УФ – устройство фиксации объекта исследования; ОИ – объект исследования

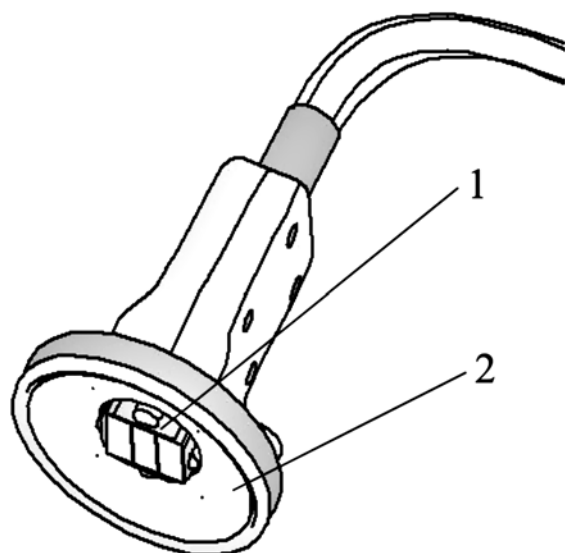


Рис. 2. Ультразвуковой блок: 1 – ультразвуковой многоплоскостной датчик; 2 – фокусирующий излучатель

где p – звуковое давление, Па; $\rho = 1000 \text{ кг}/\text{м}^3$ – плотность среды; $c = 1490 \text{ м}/\text{с}$ – скорость звука в среде;

- соотношение между интенсивностью и амплитудой сигнала: $I [\text{Вт}/\text{см}^2] = 0,254 \cdot (U_{\text{изм}} [\text{мВ}])^2$.

В табл. 1 приведены результаты измерений для питающих напряжений от 1 до 6 В и линейной экстраполяции этой зависимости в область более высоких питающих напряжений, а также пересчет сигнала гидрофона в интенсивность.

Таблица 1

Калибровка силового излучателя

Питание, В	Сигнал $U_{\text{изм}}$, мВ	Интенсивность I , $\text{Вт}/\text{см}^2$
1	16,6	17
2	31,4	63
4	61,0	236
6	90,6	521
10	149,8	1423
15	223,8	3177
20	297,8	5626
25	371,8	8769

Во всех экспериментах, описанных ниже, использовалось напряжение питания генератора силового излучателя 25 В, что обеспечивало интенсивность ультразвука в фокальном пятне около 8,7 $\text{kВт}/\text{см}^2$.

При выполнении экспериментальных исследований руководствовались требованиями приказов № 1179 МЗ СССР от 10.10.1983 г., № 267 МЗ РФ от 19.06.2003 г., «Правилами проведения работ с использованием экспериментальных животных», принципами Европейской конвенции (г. Страсбург, 1986 г.), Хельсинской декларации Всемирной медицинской ассоциации о гуманном обращении с животными (1996 г.) и рекомендациями Этического комитета ГБОУ ВПО ПСПбГМУ им. И.П. Павлова. У кроликов весом 3...3,5 кг под внутривенным наркозом доступом на бедре выделяли бедренную вену (диаметр вены 1,0...1,5 мм).

Визуализация кровотока в бедренных венах осуществлялась с помощью диагностического аппарата ЭТКС-ДМ-04 «Ультраскан», входящего в блок управления лабораторного стенда. Воздействие ФУВИ производилось однократно в течение 15 с. После этого бедренные сосуды выделялись, производили их осмотр и забор материала для гистологического исследования.

В результате отмечено следующее.

Макроскопически облученные участки сосуда побелели, видимых поверхностных дефектов, перфораций и кровотечений не наблюдается. При гистологическом исследовании установлены структурные изменения во всех слоях стенки вены (рис. 3).

В интиме наблюдаются как участки десквамации эндотелия, так и участки с сохраненным эндотелием. Можно полагать, что в зоне воздействия ФУВИ имела место дисфункция эндотелия, одним из проявлений которой может быть нарушение эндотелий-зависимой вазодилатации. Субэндотелий отечен, отмечается гомогенизация и уплотнение коллагена, межтканевыми коагуляция, интима инфильтрирована лейкоцитами.

В средней оболочке гладкие миоциты набухшие, наблюдаются вакуолизация их цитоплазмы, а также гомогенизация и коагуляция коллагена; в некоторых препаратах имеются диапедезные кровоизлияния. В адVENTии определяются отечность, разволокнение коллагена, диапедезные кровоизлияния.

В просвете вен, подвергшихся воздействию ФУВИ, видны эритроциты, десквамированный эндотелий, в отдельных случаях нити фибрина. Проходимость вен сохранена, окклюзий не наблюдается.

Таким образом, в наших экспериментах воздействие ФУВИ на вены приводило к десквамации эндотелия и деструктуризации коллагена.

Коллаген, как известно, является важнейшим компонентом стенок вен, особенно средней оболочки и адVENTии. Структурные изменения коллагена возникают при нагревании его до 54 °C. Нагрев коллагена до 62...69 °C приводит к денатурации и деструктуризации (разволокненность, разрывы волокон, «спайка» волокон и т. д.). При нагреве выше 69 °C коллаген подвергается сжатию вплоть до 60 % от первоначальной длины [4]. Полученные нами данные указывают на то, что приме-

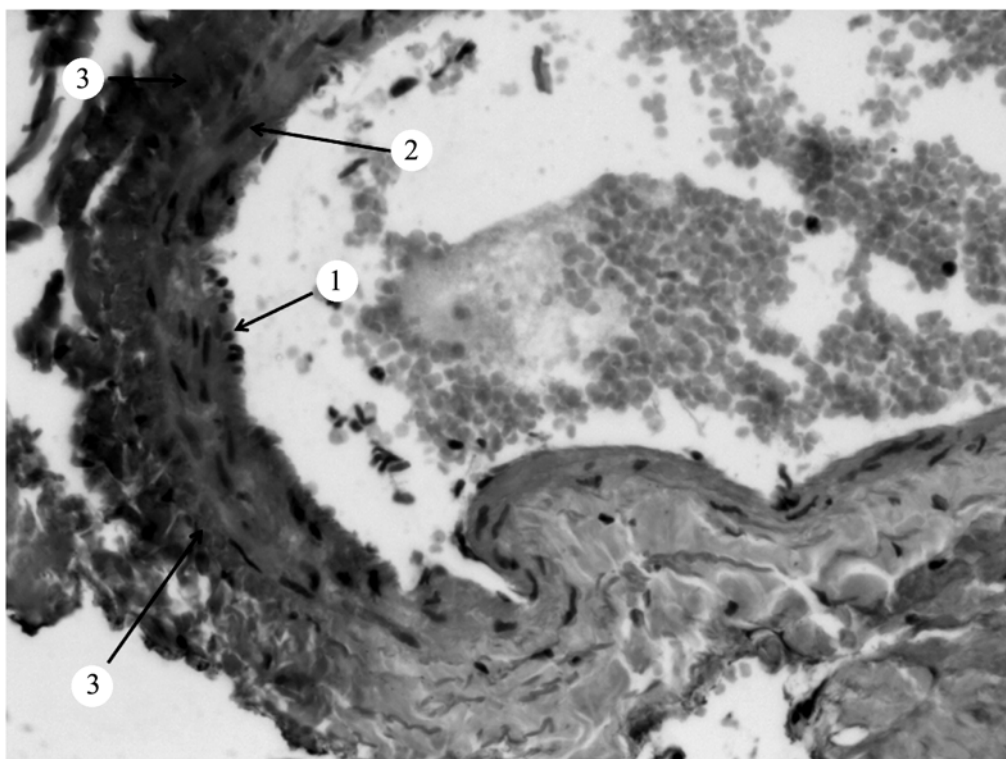


Рис. 3. Участок вены. Окраска гематоксилином и эозином. Увеличение $\times 400$: 1 – эндотелий, частичная десквамация; 2 – гладкие миоциты, набухшие, отечные, с вакуолизацией цитоплазмы; 3 – коллагеновые волокна коагулированы, с выраженной дезорганизацией

ненная технология воздействия ФУВИ обеспечивает повышение температуры в зоне облучения выше 62 °C, что достаточно для денатурации коллагена.

В механизме окклюзии и облитерации вен большое значение имеет активация системы гемостаза в ответ на повреждение эндотелия. Во всех экспериментах после воздействия ФУВИ мы наблюдали те или иные изменения эндотелиоцитов: вакуолизацию цитоплазмы, набухание, десквамацию. В некоторых случаях структурные изменения были столь значительны, что средняя оболочка вен контактировала непосредственно с кровью. Вместе с тем случаев пристеночного или обтурирующего тромбоза вен мы не выявили. Возможно, это объясняется тем, что исследование вен производилось в ближайшее время после воздействия ФУВИ (тромбы могли образоваться позже), а также тем, что тепловое воздействие снижает агрегационную и адгезивную активность тромбоцитов [5]. Можно предположить, что повреждение эндотелия под воздействием ФУВИ приведет к более быстрой инициации тромбоза вен в том случае, когда денатурация коллагена и жесткость сосудистой стенки будут менее выражены и, следовательно, менее ограничены возможности вазоспазма, способствующего тромбозу.

Таким образом, высокointенсивное фокусированное ультразвуковое воздействие на вены вызывает структурные изменения в стенке сосуда, которые можно рассматривать как основу последующей облитерации. Использование ФУВИ-технологии при венозной недостаточности нижних конечностей человека особенно актуально при несостоятельности коммуникантных вен (горизонтальный рефлюкс). Метод «подкупает» своей точностью и минимальным повреждением тканей, окружающих сосуды. Сочетание УЗ-диагностики и ФУВИ-технологии в режиме on-line можно рассматривать как один из вариантов терапии – ультразвуковую терапию.

Работа выполнена при финансовой поддержке Министерства образования и науки РФ (соглашение о предоставлении субсидии № 14.578.21.0081 от 28.11.2014 г.).

Список литературы:

1. Delon-Martin C., Vogt C., Chignier E., Guers C., Chapelon J.Y., Cathignol D. Venous thrombosis generation by means of high-intensity focused ultrasound // Ultrasound Med. Biol. 1995. Vol. 21. PP. 113-119.

2. Hwang J.H., Zhou Y., Warren C., Brayman A.A., Crum L.A. Targeted venous occlusion using pulsed high-intensity focused ultrasound // IEEE Trans. Biomed. Eng. 2010. Vol. 57. PP. 37-40.
3. Henderson P.W., Lewis G.K., Shaikh N., Sohn A. Portable high-intensity focused ultrasound device for noninvasive venous ablation // Journal of Vascular Surgery. 2010. Vol. 51. № 3. PP. 707-711.
4. Shaw C.J., ter Haar G.R., Rivens I.H., Giussani D.A., Lees C.C. Pathophysiological mechanisms of high-intensity focused ultrasound-mediated vascular occlusion and relevance to non-invasive fetal surgery // Journal of the Royal Society Interface. 2014. Vol. 26. № 11 (95). P. 20140029.
5. Rao G.H., Smith 2nd C.M., Escolar G., White J.G. Influence of heat on platelet biochemistry, structure, and function //J. Lab. Clin. Med. 1993. Vol. 122. PP. 455-464.

Александр Ефимович Беркович,

зав. лабораторией,

Андрей Арнольдович Бурсин,

гл. конструктор,

Константин Юрьевич Сенчик,

д-р мед. наук, профессор, консультант,

лаборатория «Медицинская

ультразвуковая аппаратура»,

ФГАОУ ВО СПбПУ,

Николай Николаевич Петрищев,

д-р мед. наук, профессор, руководитель,

Центр лазерной медицины,

Андрей Юрьевич Цибин,

канд. мед. наук, доцент,

кафедра общей хирургии,

Галина Юрьевна Юкина,

канд. мед. наук, зав. лабораторией патоморфологии,

ГБОУ ВПО ПСПбГМУ им. И.П. Павлова,

г. С.-Петербург,

e-mail: aeberkovich@yandex.ru

Д.М. Батухтин, Е.А. Романычева, В.В. Севастьянов, К.О. Иванов, Я.А. Фурман

Комбинированная методика классификации объектов на маммографических изображениях

Аннотация

Предложены алгоритмы диагностики доброкачественных и злокачественных образований на рентгеновских изображениях молочных желез. Алгоритмы основаны на оценке степени прямолинейности контура новообразования и сравнении изображений обеих молочных желез пациентки путем сопоставления вида аналогичных участков органа на маммограммах. Проведен анализ работы предложенных алгоритмов на реальной выборке маммографий группы пациенток.

Введение

Актуальность проблемы диагностики новообразований молочной железы на ранних этапах в первую очередь связана с достаточно большим количеством регистрируемых случаев рака молочной железы. Кроме того, тенденции снижения среднего возраста заболеваемости и высокая смертность при раке молочной железы также свидетельствуют о важности более раннего выявления данной патологии при проведении скрининговых и диагностических исследований [1]-[3]. В настоящее время общепринятым методом выявления наличия новообразований в молочной железе является рентгеновская мам-

мография. Эффективность метода была доказана в ряде рандомизированных контролируемых исследований [4], [5].

Недостатками рентгеновской маммографии являются: субъективность оценки рентгеновских маммограмм, зависимость от качества рентгеновской пленки и метода обработки рентгенограмм. По современным представлениям достаточно профессиональным в области маммографии считается рентгенолог, проанализировавший не менее 10 000 маммограмм [6], что соответствует общему стажу работы около 5 лет.

В данной статье аналитически обоснованы методы выявления «подозрительных» новообразований в маммографических изображениях. В качестве информативных признаков пред-